

Метод Конечных СуперЭлементов Федоренко и некоторые его приложения

М.П. Галанин¹
совместно с С.А. Лазаревой² и Е.Б. Савенковым¹

¹Институт прикладной математики им. М.В. Келдыша РАН

²Московский государственный технический университет им. Н.Э. Баумана

Содержание

- 1 Введение
- 2 Теоретическое обоснование
 - Вводный пример: уравнение Лапласа
 - Общий случай
 - Оценки погрешностей МКСЭ, уравнение Лапласа
 - Родственные методы
- 3 Численные результаты
 - Уравнение Лапласа
 - Задача о скоростном скин-слое
 - Задачи теории упругости
 - Анализ композитных материалов
 - 3D расчет электрофизических свойств проводника
- 4 Заключение
- 5 Публикации
- 6 Благодарности

```

○○○○○○○○○○○○○○○○
○○○○○
○○○○○○○
○○○○○○○
○○○

```

```

○○○○○
○○○
○○○○○○○○○
○○○○○○○○○
○○○

```

Задачи с локальными сингулярностями

Задачи с локальными "сингулярностями" физической или геометрической природы:

- локальные, но резкие, скачки коэффициентов задачи (композитные среды и т.п.);
- локальные нагрузки (точечные силовые воздействия или тепловые источники и т.п.);
- расчетные области с локальными геометрическими сингулярностями ("скважины" и т.п.);
- и многое другое ...

```

oooooooooooooooo
ooooo
oooooo
ooo

```

```

ooooo
ooo
oooooooooo
oooooooooo
ooo

```

Задачи и решения

Общая задача

$$\text{diam}(\text{“сингулярность”}) \ll \text{diam}(\text{расчетная область})$$

Традиционные КЭ или КР приближения ведут к задачам очень высокой размерности (размер сетки $h \approx 0.1 \text{ diam}(\text{сингулярность})$).

Возможные решения:

- адаптивные сетки (требуют специальных средств генерации сетки).
- специальные приближения на грубой сетке (сильно задачно-зависимый подход).

Метод конечных суперэлементов Федоренко (1974)

МКСЭ Федоренко

В исходном варианте предложен как вариант традиционных приближений Петрова-Галеркина с “базисными” функциями, которые являются точными решениями рассматриваемого уравнения в каждом СЭ отдельно.

Такое определение не позволяет использовать хорошо развитую теоретическую основу МКЭ прямо.

Цель

Целью нашей работы является создание теоретического базиса для анализа метода и его продвижение в новые области применения.

```

oooooooooooooooo
ooooo
oooooo
ooo

```

```

ooooo
ooo
oooooooooo
oooooooooo
ooo

```

Метод конечных суперэлементов Федоренко (1974)

Основные моменты МКСЭ

- МКСЭ основан на декомпозиции полной расчетной области на меньшие подобласти – суперэлементы.
- МКСЭ имеет дело с грубой (суперэлементной) сеткой.
- Данная СЭ сетка заведомо не может разрешить всю локальную сингулярность решения, но ведет к задаче малой размерности.
- Для разрешения локальной сингулярности внутри каждого СЭ отдельно используется тонкая (в случае МКЭ/МКР) сетка. Вспомогательные задачи на тонких сетках могут быть решены независимо.

●○○○○○○○○○○○○○○
 ○○○○○
 ○○○○○○○
 ○○○

○○○○○
 ○○○
 ○○○○○○○○
 ○○○○○○○○
 ○○○

Вводный пример: уравнение Лапласа

Вводный пример

Уравнение Лапласа:

$$-\Delta u = 0 \text{ в } \Omega,$$

$$u|_{\partial\Omega} = g.$$

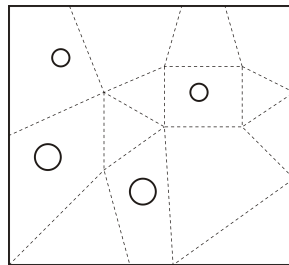


Figure: область и СЭ

Ω представляет собой многосвязную область с малыми
 ”скважинами”

(случай геометрической сингулярности).

$\Omega = \bigcup_{k=1}^K \Omega_k$, где Ω_k – суперэлементы.

●○○○○○○○○○○○○○○○○
 ○○○○○
 ○○○○○○
 ○○○○

○○○○○
 ○○○
 ○○○○○○○○○
 ○○○○○○○○
 ○○○

Вводный пример: уравнение Лапласа

Вводный пример

Формула Грина

$$\int_{\Omega} -\Delta u v \, d\Omega = \int_{\Omega} \nabla u \nabla v \, d\Omega - \int_{\partial\Omega} \frac{\partial u}{\partial \mathbf{n}} v \, d\gamma.$$

Общепринятое средство получения слабой постановки задачи:

найти $u \in V$: $a(u, v) = 0, \quad \forall v \in V_0; \quad u|_{\partial\Omega} = g;$

$$a(u, v) = \int_{\Omega} \nabla u \nabla v \, d\Omega,$$

$$V_0 = \{u \in V : u|_{\partial\Omega} = 0\}, \quad V = W_2^1(\Omega).$$


```

○○●○○○○○○○○○○○○
○○○○○
○○○○○○○
○○○○○○○
○○○

```

```

○○○○○
○○○
○○○○○○○○○
○○○○○○○○○
○○○

```

Вводный пример: уравнение Лапласа

Вводный пример

Оператор Пуанкаре-Стеклова

$$P : \varphi|_{\partial\Omega} \mapsto P\varphi = \frac{\partial u}{\partial \vec{n}} \Big|_{\partial\Omega},$$

где u является решением задачи:

$$u|_{\partial\Omega} = \varphi, \quad -\Delta u = 0 \text{ в } \Omega.$$

Общепринятый инструмент анализа методов декомпозиции области (введены В.И. Лебедевым, В.И. Агошковым в 80^х).

```

○○○●○○○○○○○○○○
○○○○
○○○○○○
○○○○○○
○○○

```

```

○○○○
○○
○○○○○○○○
○○○○○○
○○○

```

Вводный пример: уравнение Лапласа

Вводный пример

Оператор Пуанкаре-Стеклова:

- действует на границе области;
- отображает ГУ Дирихле в эквивалентные условия Неймана;
- наследует свойства исходной задачи (непрерывность, симметричность и положительную определенность).

Главное используемое свойство

Действует подобно “черному ящику” и позволяет свести рассмотрение на границу области

```

○○○●○○○○○○○○○○
○○○○
○○○○○○
○○○○○○
○○○

```

```

○○○○
○○
○○○○○○○○
○○○○○○
○○○

```

Вводный пример: уравнение Лапласа

Вводный пример

Оператор Пуанкаре-Стеклова:

- действует на границе области;
- отображает ГУ Дирихле в эквивалентные условия Неймана;
- наследует свойства исходной задачи (непрерывность, симметричность и положительную определенность).

Главное используемое свойство

Действует подобно “черному ящику” и позволяет свести рассмотрение на границу области

```

○○○○●○○○○○○○○
○○○○○
○○○○○○○
○○○

```

```

○○○○○
○○○
○○○○○○○○○
○○○○○○○
○○○

```

Вводный пример: уравнение Лапласа

Уравнение для следов: уравнение Лапласа

Вариационное уравнение для следов

Формула Грина + операторы П.-С. = вариационное уравнение для следов решения φ на СЭ границах:

$$\varphi \in V_\Gamma : \quad b(\varphi, \psi) = f(\psi), \quad \forall \psi \in V_{\Gamma,0};$$

- форма $b(\cdot, \cdot)$ является билинейной, непрерывной и положительно определенной;
- функция φ вводит следы решения на СЭ границах;
- пространства V_Γ и $V_{\Gamma,0}$ вводят подходящие пространства следов и определены на границах СЭ.

```

○○○○○●○○○○○○○
○○○○○
○○○○○○○
○○○

```

```

○○○○○
○○○
○○○○○○○○○
○○○○○○○
○○○

```

Вводный пример: уравнение Лапласа

Пространства следов

Пространства следов:

$$V_\Gamma = \{ \varphi = \{ \varphi_k \}_{k=1}^K : \exists v \in V, \forall k = \overline{1, K}, \varphi_k = v|_{\partial\Omega_k} \},$$

$$V_{\Gamma,0} = \{ \varphi = \{ \varphi_k \}_{k=1}^K : \exists v \in V_0, \forall k = \overline{1, K}, \varphi_k = v|_{\partial\Omega_k} \}.$$

- Функции φ_k определены на $\partial\Omega_k$.
- Такой выбор $V_\Gamma, V_{\Gamma,0}$ обеспечивает непрерывность почти всюду общего решения при переходе через СЭ границы раздела (на гладких частях).

```

○○○○○○●○○○○○○
○○○○○
○○○○○○○
○○○

```

```

○○○○○
○○○
○○○○○○○○○
○○○○○○○○○
○○○

```

Вводный пример: уравнение Лапласа

Уравнение для следов: уравнение Лапласа

Пусть Ω_k являются суперэлементами и $\Omega = \bigcup_{k=1}^K \Omega_k$.

Тогда $b(\cdot, \cdot)$ представляет собой форму:

$$b(\varphi, \psi) = \sum_{k=1}^K \langle P_k \varphi_k, \psi_k \rangle_{\partial \Omega_k},$$

где

- $\langle \cdot, \cdot \rangle_{\partial \Omega_k}$ является скалярным произведением в $L_2(\partial \Omega_k)$.
- P_k обозначает оператор П.-С. для исходного уравнения и СЭ Ω_k .

Правая часть

$$f(\psi) = \sum_{k=1}^K \langle \nu_k, \psi_k \rangle_{\partial \Omega_k},$$

определяется ГУ Неймана или правой частью исходной задачи.

```

○○○○○○○●○○○○○
○○○○○
○○○○○○○
○○○

```

```

○○○○○
○○○
○○○○○○○○○
○○○○○○○
○○○

```

Вводный пример: уравнение Лапласа

Метод конечных суперэлементов Федоренко

МКСЭ метод

Проекционный метод (Бубнова-Галеркина или Петрова-Галеркина) решения вариационного уравнения для следов:

найти $\varphi_h \in V_\Gamma^h$: $b(\varphi_h, \psi_h) = f(\psi_h)$, $\forall \psi_h \in V_{\Gamma,0}^h$; $\varphi_h|_{\partial\Omega} = g_h$.

- Здесь V_Γ^h и $V_{\Gamma,0}^h$ являются некоторыми конечномерными подпространствами на V_Γ и $V_{\Gamma,0}$.
- Фактически вводят приближение условий слабой непрерывности нормальных производных решения при пересечении СЭ границ.

```

○○○○○○○○●○○○○
○○○○
○○○○
○○○○○○
○○○

```

```

○○○○
○○
○○○○○○○○
○○○○○○
○○○

```

Вводный пример: уравнение Лапласа

Вычислительная процедура

Стадия 1

- Разбить область на СЭ.
- Определить наборы граничных базисных и пробных функций для следов ($\bar{\varphi}_h$).

Стадия 2

Для каждой граничной базисной функции на каждом СЭ рассчитать значения операторов П.-С. (соответствующая задача решается приближенно на каждом СЭ отдельно с $\bar{\varphi}_h$ в качестве ГУ).

Здесь может быть использована разнообразная техника: МКЭ, МКР, МГИУ и т.д.


```

○○○○○○○○●○○○○
○○○○
○○○○○○
○○○

```

```

○○○○
○○
○○○○○○○○
○○○○○○
○○○

```

Вводный пример: уравнение Лапласа

Вычислительная процедура

Стадия 1

- Разбить область на СЭ.
- Определить наборы граничных базисных и пробных функций для следов ($\bar{\varphi}_h$).

Стадия 2

Для каждой граничной базисной функции на каждом СЭ рассчитать значения операторов П.-С. (соответствующая задача решается приближенно на каждом СЭ отдельно с $\bar{\varphi}_h$ в качестве ГУ).

Здесь может быть использована разнообразная техника: МКЭ, МКР, МГИУ и т.д.

```

○○○○○○○○●○○○○
○○○○
○○○○○○
○○○○○○
○○○

```

```

○○○○
○○
○○
○○○○○○○○
○○○○○○○○
○○○

```

Вводный пример: уравнение Лапласа

Вычислительная процедура

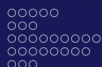
Стадия 1

- Разбить область на СЭ.
- Определить наборы граничных базисных и пробных функций для следов ($\bar{\varphi}_h$).

Стадия 2

Для каждой граничной базисной функции на каждом СЭ рассчитать значения операторов П.-С. (соответствующая задача решается приближенно на каждом СЭ отдельно с $\bar{\varphi}_h$ в качестве ГУ).

Здесь может быть использована разнообразная техника: МКЭ, МКР, МГИУ и т.д.



Вычислительная процедура

oooooooo●oooo
ooooo
oooooo
ooo

ooooo
ooo
ooooooooo
ooooooooo
ooo

Вводный пример: уравнение Лапласа

Вычислительная процедура

Стадия 3

Рассчитать СЭ матрицу жесткости и найти СЭ решение (т.е. приближение следов решения на СЭ границах).

Стадия 4

- Рассчитать полное решение во всей области.
- На этой стадии нет необходимости рассчитывать СЭ вспомогательные задачи, вся информация уже получена на стадии 3.

oooooooo●oooo
ooooo
oooooo
ooo

ooooo
ooo
ooooooooo
ooooooooo
ooo

Вводный пример: уравнение Лапласа

Вычислительная процедура

Стадия 3

Рассчитать СЭ матрицу жесткости и найти СЭ решение (т.е. приближение следов решения на СЭ границах).

Стадия 4

- Рассчитать полное решение во всей области.
- На этой стадии нет необходимости рассчитывать СЭ вспомогательные задачи, вся информация уже получена на стадии 3.

```

○○○○○○○○○○●○○○
○○○○○
○○○○○○○
○○○

```

```

○○○○○
○○○
○○○○○○○○○
○○○○○○○○○
○○○

```

Вводный пример: уравнение Лапласа

МКСЭ и МКЭ: сходства

Сходства

- С алгоритмической точки зрения МКСЭ может быть рассмотрен как естественный МКЭ с некоторыми специфичными для данной задачи “базисными” функциями, которые выбираются так, чтобы быть точными решениями рассматриваемого уравнения в каждом СЭ.
- Внутри каждого СЭ эти “базисные” функции являются точными решениями рассматриваемого уравнения с ГУ, порожденными граничными базисными функциями $\bar{\varphi}_h$.

```

○○○○○○○○○○●○○
○○○○○
○○○○○○○
○○○

```

```

○○○○○
○○○
○○○○○○○○○
○○○○○○○○○
○○○

```

Вводный пример: уравнение Лапласа

МКСЭ и МКЭ: различия

Различия

- Эти самые “базисные” функции, определенные внутри СЭ, не имеют каких-либо аппроксимирующих свойств (поскольку они наследуют избыточную информацию о решении задачи).
- Граничные базисные функции **имеют** аппроксимирующие свойства **в отличие** от СЭ “базисных” функций, определенных внутри СЭ.
- СЭ сетка не является разностной сеткой и вводит лишь декомпозицию всей области на меньшие части.
- В отличие от традиционных проекционно-сеточных (например, МКЭ) методов параметром аппроксимации является размер граничной сетки h , а **не** размер СЭ сетки (приближенное решение сходится к точному, когда $h \rightarrow 0$).

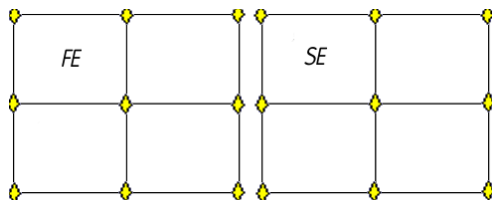


oooooooooooo●o
ooooo
oooooooo
ooo

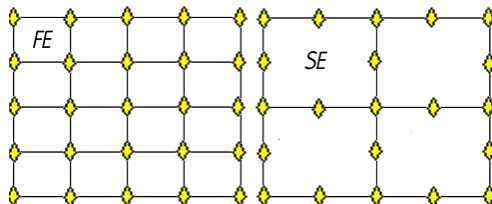
ooooo
ooo
ooooooooo
ooooooooo
ooo

Вводный пример: уравнение Лапласа

МКСЭ и МКЭ: различия



$h = H$



$h = H/2$

MKCЭ

Уравнение для следов в слабой форме + проекционные методы = МКСЭ

Уравнение для следов представляет собой условия слабой непрерывности нормальных производных на СЭ границах.

MKCƏ

Уравнение для следов в слабой форме + проекционные методы = МКСЭ

МДО

Уравнение для следов в операторной форме + итерационные методы = традиционный МДО



Общий случай

- Исходная задача:

$$Au = f \text{ в } \Omega;$$

- Формула Грина:

$$(Au, v)_\Omega = a(u, v)_\Omega + \langle \delta u, \gamma v \rangle_{\partial\Omega},$$

где δ – оператор ”нормальной производной”, γ – оператор взятия следа;

- Оператор Пуанкаре-Стеклова:

$$P : \varphi \mapsto P\varphi = \delta U|_{\partial\Omega},$$

где U обозначает решение задачи

$$AU = 0 \text{ в } \Omega, \quad U|_{\partial\Omega} = \varphi.$$

```

○○○○○○○○○○○○○○○○
○●○○○
○○○○○○○
○○○

```

```

○○○○○
○○○
○○○○○○○○○
○○○○○○○○○
○○○

```

Примеры

- Оператор Лапласа (рассмотрен выше):

$$A = -\Delta, \quad a(u, v) = \int_{\Omega} \nabla u \nabla v \, d\Omega, \quad \delta u = \frac{\partial u}{\partial \vec{n}}, \quad \gamma u = u|_{\partial\Omega}.$$

- Оператор конвекции-диффузии:

$$A = -(\vec{c}_1 \nabla) u + \operatorname{div}(\vec{c}_2 u - \kappa \nabla u) - \lambda u,$$

$$a(u, v) = \int_{\Omega} (\vec{c}_1 \nabla u \cdot v - u \cdot \vec{c}_2 \nabla v + \kappa \nabla u \cdot \nabla v) \, d\Omega,$$

$$\delta u = (\kappa \nabla u - \vec{c}_2 u) \cdot \vec{n}, \quad \gamma u = u|_{\partial\Omega}.$$

```

oooooooooooooooo
oo●ooo
oooooooo
ooo

```

```

ooooo
ooo
ooooooooo
ooooooooo
ooo

```

Примеры

- Оператор линейной теории упругости:

$$Au = -\operatorname{div} \sigma(u), \quad a(u, v) = \int_{\Omega} \sigma(u) \epsilon(u) \, d\Omega,$$

$$\delta u = \sigma(\vec{u}) \cdot \vec{n}, \quad \gamma \vec{u} = \vec{u}|_{\partial\Omega},$$

$$\sigma_{ij} = 2\mu\epsilon_{ij} + \lambda\epsilon_{kk}\delta_{ij}, \quad \epsilon_{ij} = \frac{1}{2} \left(\frac{\partial u_j}{\partial x_i} + \frac{\partial u_i}{\partial x_j} \right)$$

```

○○○○○○○○○○○○○○○○
○○○●○○
○○○○○○○
○○○

```

```

○○○○○
○○○
○○○○○○○○○
○○○○○○○○○
○○○

```

Основные моменты

- Для всех представленных выше случаев (и других) вариационные уравнения для следов имеют единообразную форму и могут быть сконструированы однородным способом – так же, как и их конечномерные приближения (МКСЭ).
- Данный подход обеспечивает единообразную теоретическую основу для данного метода и его обоснования, т.е.
 - анализ ошибок (оценка для ошибки решения сводится к оценке ошибки интерполяции)
 - позволяет конструировать различные варианты МКСЭ (соответствующие различным версиям приближений Бубнова-и Петрова-Галеркина)

```

oooooooooooooooo
oooo●
ooooo
ooooo
ooo

```

```

ooooo
ooo
ooooooooo
ooooooooo
ooo

```

Основные моменты

- Алгоритм работает для задач с внешними силами и различными ГУ (Неймана и смешанными ГУ).
- Возможно сконструировать комбинированные МКЭ/МКСЭ приближения (СЭ не покрывают всю расчетную область).

Рассмотренный выше формализм позволяет использовать традиционную и хорошо развитую теорию вариационных уравнений и проекционно-сеточных методов для анализа данного метода.

oooooooooooooooo
 oooooo
 ●oooooo
 ooo

ooooo
 ooo
 oooooooooo
 oooooooooo
 ooo

Теоретическое исследование МКСЭ

Открытые вопросы:

- определение порядка сходимости МКСЭ;
- выявление аппроксимационных параметров, влияющих на сходимость решения и его производных;
- получение точных априорных оценок погрешности приближения;
- исследование приближенного решения в углах декомпозиции.

Основные сложности:

- аппроксимация МКСЭ нетривиальна;
- необходимо работать не со слабыми, а преимущественно с сильными (и гладкими) решениями задач;
- “обычная” методика исследования неприменима и требуется разработка нового подхода к анализу МКСЭ.


```

○○○○○○○○○○○○○○○○
○○○○○
○●○○○○○
○○○

```

```

○○○○○
○○○
○○○○○○○○○
○○○○○○○○○
○○○

```

Оценка качества приближения решения

Разрешимость задачи Дирихле в пространстве H^1

Ошибка расчета в энергетическом пространстве $H^1(\Omega)$:

$$\|u - \bar{u}\|_{H^1(\Omega)} \simeq \sum_k \|\gamma u - \gamma \bar{u}\|_{H^{1/2}(S_k)}$$

где \bar{u} – приближенное решение, γ – оператор взятия следа (ограничение функции на S).

- Использована теория интерполяции между пространствами и известные подходы к анализу МКЭ
- Доказана насыщенность метода и получены точные априорные оценки погрешностей

oooooooooooooooo
 ooooo
 oo●oooo
 ooo

ooooo
 ooo
 oooooooooo
 oooooooooo
 ooo

Априорные оценки погрешностей решения

Априорные оценки погрешностей МКСЭ:

при $\nu \geq R - 1$:

$$\|u - \bar{u}\|_{H^1(\Omega)} \leq C_R \frac{1}{(\nu+1)^{R-1}} |I|^{R-1} |\gamma u|_{H^{R-1/2}(S)},$$

при $\nu \leq R - 1$:

$$\|u - \bar{u}\|_{H^1(\Omega)} \leq C_\nu \cdot |I|^\nu |\gamma u|_{H^{\nu+1/2}(S)}.$$

$|I|$ – шаг граничной сетки, ν – степень полинома, $u \in H^R(\Omega)$ – точное и \bar{u} – приближенное решение.

○○○○○○○○○○○○○○○○
○○○○○
○○○○●○○○
○○○

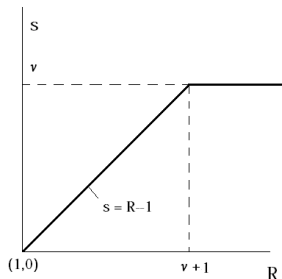
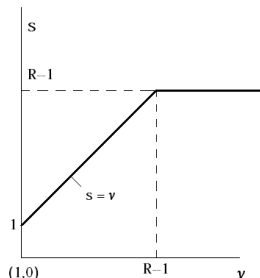
○○○○○
○○○
○○○○○○○○○
○○○○○○○○○
○○○

Оценки погрешностей МКСЭ, уравнение Лапласа

Насыщаемость по гладкости

Погрешность решения МКСЭ:

$$\|u - \bar{u}\|_{H^1(\Omega)} \leq C \cdot |I|^s |\gamma u|_{H^{s+1/2}(S)}.$$



$|I|$ – шаг граничной сетки, ν – степень полинома, R – гладкость u .

○○○○○○○○○○○○○○○○
 ○○○○○
 ○○○○●○○
 ○○○

○○○○○
 ○○○
 ○○○○○○○○
 ○○○○○○○○
 ○○○

Оценки погрешностей МКСЭ, уравнение Лапласа

Сложности исследования

Задача Дирихле:

$$-\Delta u = 0 \text{ в } \Omega, u \in H^1(\Omega)$$

$$u|_{\partial\Omega} = g,$$

$$\Omega = \bigcup_{k=1}^K \Omega_k.$$

u – гладкое в окрестностях
 $\partial\Omega_k$ (принцип МКСЭ).

Пусть $u \in H^M(\Omega)$, $M > 1$.

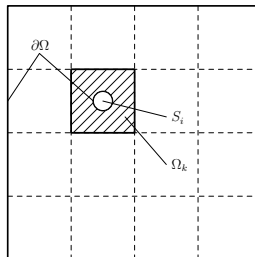


Figure: область и СЭ

Исследование γu не учитывает гладкость u в углах СЭ:

$\gamma : H^M(\Omega) \rightarrow H^{M-1/2}(I)$, где I – дост. гладкие части границы разбиения (ребра СЭ)

```

○○○○○○○○○○○○○○○○
○○○○○
○○○○○●○
○○○

```

```

○○○○○
○○○
○○○○○○○○○
○○○○○○○○○
○○○

```

Гладкость приближенных решений

Асимптотика в углу многоугольного суперэлемента:

Приближенное решение \bar{u}

1 При $\pi/\alpha \in \mathbb{Z}$, $\pi/\alpha \leq \nu$:

$$\bar{u} = \sum_{q=j\pi/\alpha} r^q \ln r \cdot \psi'_q(\theta) + \sum_{q \neq j\pi/\alpha} r^q \cdot \psi''_q(\theta)$$

2 Иначе: $\bar{u} = \sum_{q=0}^{\nu} r^q \cdot \psi_q(\theta)$

Любое при $\gamma^0 u \in H^{R-1/2}$

$$u = u_{\text{reg}} + u_{\text{sing}}$$

$$u_{\text{sing}} = \sum_{q=0}^Q k_q r^\lambda \log^q r \cdot \varphi_q(\theta),$$

$$\lambda = j\pi/\alpha \text{ либо } \lambda \in \mathbb{R}, \lambda > 0$$

$\bar{u} = O(r^{\pi/\alpha} \ln r) \in H^{\pi/\alpha}$ либо \bar{u} – обладает макс. гладкостью относит. г.у.

```

○○○○○○○○○○○○○○○○
○○○○○
○○○○○○●
○○○

```

```

○○○○○
○○○
○○○○○○○○○
○○○○○○○○○
○○○

```

Оценки погрешностей МКСЭ, уравнение Лапласа

Анализ погрешностей производных

↪ На примере суперэлемента с раствором угла $0 < \alpha < \pi$;

Априорные оценки погрешностей производных МКСЭ

- 1 Константная погрешность МКСЭ при $|I| \rightarrow 0$.** При $\pi/\alpha \in \mathbb{Z}$, $\pi/\alpha \leq \nu$ (пр.рац.др. α/π при $\nu > 2$ и $\nu = 2$ в квадрате).
- 2 Погрешность производных решения порядка больше единицы в норме $H^1(\Omega)$ расходится**
- 3 Необходимое и достаточное условие сходимости** градиентов обеспечивает $k_q = 0$. Граничные базисные функции МКСЭ должны являться следами некоторого гармонического полинома в координатах, связанных с углом суперэлемента.

```

oooooooooooooooo
ooooo
ooooooooo
●ooo

```

```

ooooo
ooo
ooooooooo
ooooooooo
ooo

```

Методы суперэлементов

СЭ – группа специально выделенных КЭ.

Пример одного СЭ: $S \in \Omega$ – подобласть. Введена триангуляция.

$$Au = f,$$

где A – матрица жесткости, u – узловые значения, f – правая часть. $u = (u_0, u_s, u_b)$ – на $\Omega \setminus S$, S и ∂S . Связь через u_b .

Финитность.



Методы суперэлементов

$$\begin{bmatrix} A_{bb} & A_{bs} & A_{b0} \\ A_{sb} & A_{ss} & 0 \\ A_{0b} & 0 & A_{00} \end{bmatrix} \cdot \begin{bmatrix} u_b \\ u_s \\ u_0 \end{bmatrix} = \begin{bmatrix} f_b \\ f_s \\ f_0 \end{bmatrix}$$

$$u_s = A_{ss}^{-1} f_s - A_{ss}^{-1} A_{sb} u_b.$$

$$\begin{bmatrix} A_{bb} - A_{bs} A_{ss}^{-1} A_{sb} & A_{b0} \\ A_{0b} & A_{00} \end{bmatrix} \cdot \begin{bmatrix} u_b \\ u_0 \end{bmatrix} = \begin{bmatrix} f_b - A_{bs} A_{ss}^{-1} f_s \\ f_0 \end{bmatrix}.$$

Понижение порядка системы исключением неизвестных для части узлов.


```

oooooooooooooooo
ooooo
oooooo
ooooooo
oo●

```

```

ooooo
ooo
oooooooooo
oooooooooo
ooooo

```

Родственные методы:

- варианты МСЭ;
- варианты МДО;
- The Method of Supercells – Briggs, Lewis;
- Residual-Free Bubbles (RFB) - методы на элементах с нулевой невязкой – Brezzi, Franca;
- МНК - метод наименьших квадратов;
- метод Треффтца;
- многие другие...

```

oooooooooooooooo
ooooo
oooooo
oooo

```

```

●oooo
ooo
ooooooooo
ooooooooo
ooooo

```

Уравнение Лапласа

Постановка задачи:

$$-\Delta u = 0 \text{ в } \Omega,$$

$$u|_{\partial\Omega} = g,$$

$$\Omega = \cup_{k=1}^K \Omega_k.$$

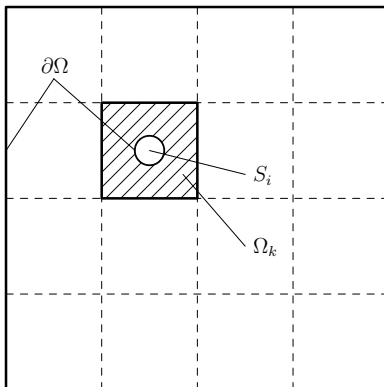


Figure: область и СЭ

oooooooooooooooo
ooooo
ooooooo
ooo

o●ooo
ooo
ooooooooo
ooooooooo
ooo

Уравнение Лапласа

Граничные базисные функции

Граничные базисные функции

- полиномы
- тригонометрические
- сплайны
- кусочно-линейные
- ...

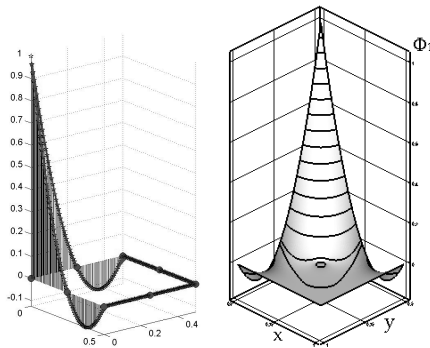


Figure: вид граничных базисных функций и СЭ “базисных” функций

oooooooooooooooo
ooooo
ooooooo
ooo

oo●oo
ooo
oooooooooo
oooooooooo
oooo

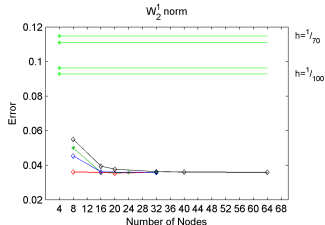
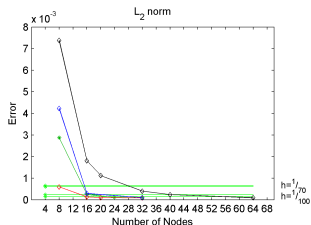
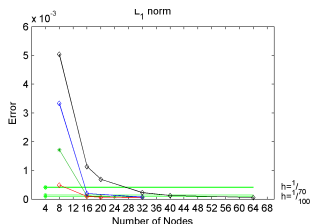
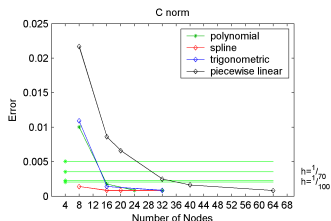
Уравнение Лапласа

Сходимость, число и размер СЭ фиксированы

Зависимости погрешности МКСЭ от числа узлов гран. сетки.

Различные варианты БФ.

Сравнение МКСЭ и МКЭ



```

oooooooooooooooo
ooooo
ooooooooo
ooo

```

```

ooo●o
ooo
ooooooooo
ooooooooo
ooo

```

Скорости численной сходимости

	Полином	Сплайн	Кусочно-линейные
C	2.29	0.61	1.62
L_1	2.92	2.23	2.19
L_2	3.03	1.99	2.11
C (СЭ узлы)	2.95	1.69	1.71

Table: скорости численной сходимости МКСЭ

СЭ решение имеет неустранимую ошибку, порожденную приближенностью решения вспомогательных СЭ задач.

oooooooooooooooo
ooooo
ooooooo
ooo

oooo●
ooo
oooooooooo
oooooooooo
ooo

Уравнение Лапласа

Примеры решений

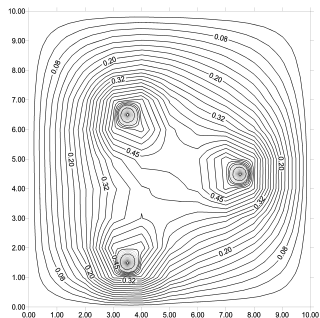


Figure: 3 “скважины”

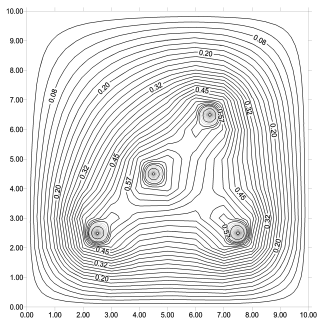


Figure: 4 “скважины”

$d(\text{скважины})/d(\Omega) = 10^{-2}$, $\Omega = [0, 10] \times [0, 10]$, $N_{SE} = 10 \times 10$.

oooooooooooooooo
 oooooo
 oooooo
 oooooo
 ooo

ooooo
 oooo
 oooooo
 oooooo
 oooooo
 ooo

Постановка задачи. Моделирование рельсотронов

$$\frac{DH}{Dt} - (\vec{v}, \nabla)H = \operatorname{div}(-\vec{u}H + \frac{1}{4\pi\sigma} \nabla H) \text{ в } \Omega,$$

$$\text{ГУ: } H = h \text{ на } \Gamma_1, -(\vec{n}, \vec{u})H + \frac{1}{4\pi\sigma} \frac{\partial H}{\partial n} = 0 \text{ на } \Gamma_2,$$

$$\text{НУ: } H = 0, t = 0,$$

$$\vec{v}(\vec{r}, t) = \vec{u}_A(t),$$

$$\vec{u}(\vec{r}, t) = 0 \text{ в } \Omega_R, \vec{u}(\vec{r}, t) = \vec{u}_A(t) \text{ в } \Omega_A,$$

$$\Omega = \Omega_A \cup \Omega_R, \Gamma = \partial\Omega = \Gamma_1 \cup \Gamma_2.$$

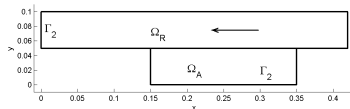


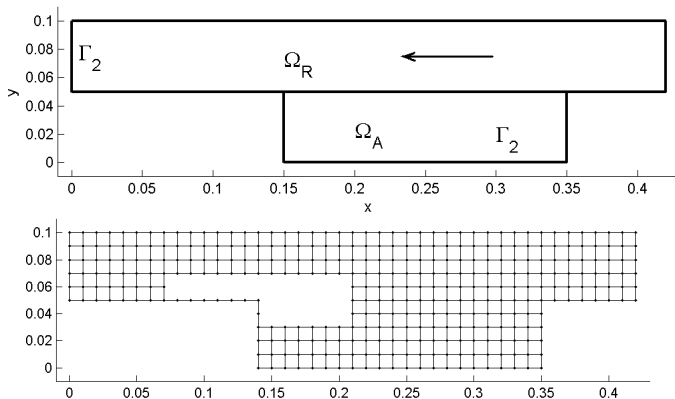
Figure: Половина рельсотрона

oooooooooooooooo
ooooo
oooooo
ooo

ooooo
ooo
oooooooooo
ooooooooo
oooo

Задача о скоростном скин-слое

Область и расчетная сетка



Суперэлементная сетка (273+1 СЭ)

oooooooooooooooo
 ooooo
 ooooooo
 ooo

ooooo
 ooo
 oooooooo
 oooooooo
 ooo

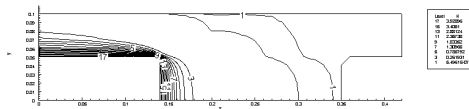
Задача о скоростном скин-слое

Результаты расчетов

МКСЭ, комбинированные МКЭ/МКСЭ аппроксимации, МКЭ

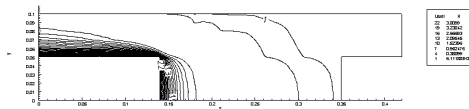
МКСЭ:

1 особый СЭ
 (36 узлов),
 273 СЭ (4 узла),
 1128 БФ



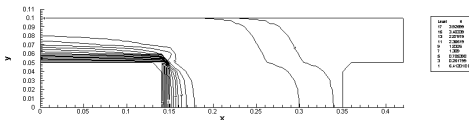
МКЭ/МКСЭ:

1 особый СЭ
 (36 узлов),
 273 КЭ,
 36 БФ



МКЭ:

325 КЭ



```

oooooooooooooooo
ooooo
oooooo
oooo

```

```

ooooo
ooo
●ooooooooo
ooooooooo
oooo

```

Задачи теории упругости

Постановка задачи:

$$-\operatorname{div} \sigma(\vec{u}) = 0 \text{ в } \Omega,$$

$$\vec{u}|_{\Gamma_1} = \vec{g},$$

$$\sigma(u) \cdot \vec{n}|_{\Gamma_2} = \vec{f},$$

$$\partial\Omega = \Gamma_1 \cup \Gamma_2,$$

$$\sigma_{ij} = 2\mu\epsilon_{ij} + \lambda\epsilon_{kk}\delta_{ij},$$

$$\epsilon_{ij} = \frac{1}{2} \left(\frac{\partial u_j}{\partial x_i} + \frac{\partial u_i}{\partial x_j} \right).$$

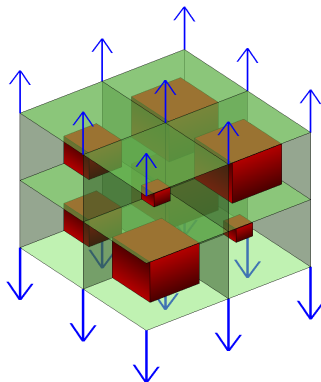


Figure: область и СЭ

```

○○○○○○○○○○○○○○
○○○○○
○○○○○○○
○○○

```

```

○○○○○
○○○
○○○○○○○
○○○○○○○
○○○

```

Граничные базисные функции

- область разбита на СЭ кирпичеобразной формы
- каждый СЭ содержит только одно “включение”
- граничные базисные функции сконструированы как традиционные 2d КЭ на СЭ границах
- для этой цели использованы треугольные КЭ сетки на сторонах СЭ
- для решения вспомогательных задач использован традиционный МКЭ

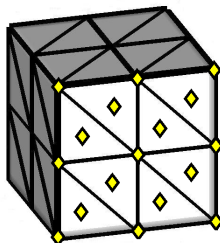


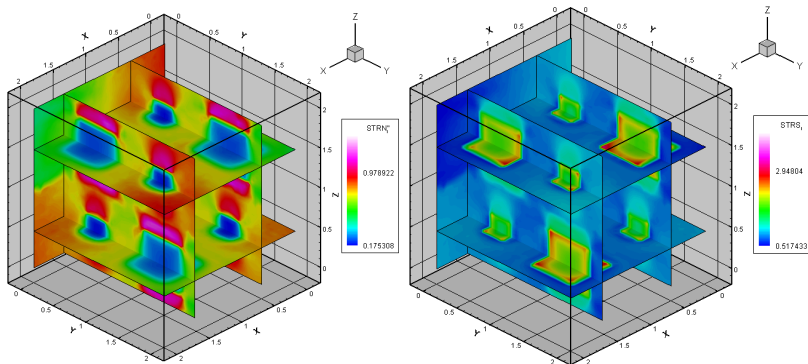
Figure: СЭ и их граничная сетка

oooooooooooooooo
ooooo
ooooooo
ooo

ooooo
ooo
oo●ooooo
ooooooooo
ooo

Результаты расчетов

Область $2 \times 2 \times 2$ СЭ. 2 типа СЭ (большие и малые кубические включения). Интенсивности деформаций и напряжений.



```

○○○○○○○○○○○○○○○○
○○○○○
○○○○○○○
○○○

```

```

○○○○○
○○○
○○○●○○○○○
○○○○○○○
○○○

```

Граничные базисные функции

■ Граничные базисные функции:

- линейные
- квадратичные
- кубические лагранжевы
- кубические эрмитовы

■ Параметры моделирования:

- число СЭ граничных узлов на одной СЭ границе: $8 - 500$
- число СЭ в расчетной области:

от $2 \times 2 \times 2$ до $15 \times 15 \times 15$

- число точек вспомогательной сетки в одном СЭ: до $1.5 \cdot 10^5$

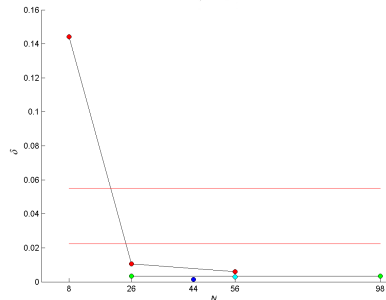
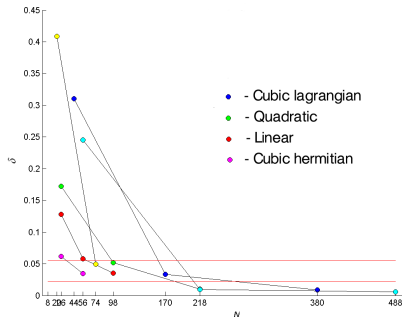
Итого: до $\sim 10^8$ точек вспомогательной сетки в расчетной области

oooooooooooooooo
ooooo
oooooo
ooo

ooooo
ooo
oooo●oooo
ooooooooo
ooo

Относительные ошибки

Зависимости погрешности решения от числа узлов в СЭ (норма С). Различные варианты БФ. Разбиения на 8 и 125 СЭ.



```

oooooooooooooooo
ooooo
oooooo
ooo

```

```

ooooo
ooo
ooooo●ooo
ooooooooo
ooo

```

Скорости сходимости

граничная базисная функция	скорость сходимости (норма $C(\Omega)$)
линейная	1.47
квадратичная	1.28
кубическая лагранжева	1.8
кубическая эрмитова	1.69

Table: численные скорости сходимости

СЭ решение имеет неустранимые ошибки, порожденные приближенностью решения вспомогательных СЭ задач.

oooooooooooooooo
ooooo
oooooo
ooo

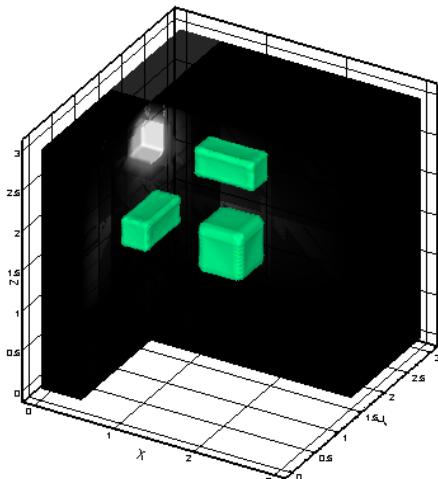
ooooo
ooo
oooooooo●oo
ooooooooo
ooo

Пример решения

Уравнения линейной теории упругости без внешней силы и следующими ГУ:

$$u_i|_{\Gamma} = 0, \quad u_i|_{\Gamma_{\text{hole}}} = 1,$$

Γ_{hole} является границей “отверстия” и $\Gamma = \partial\Omega \setminus \Gamma_{\text{hole}}$.



oooooooooooooooo
 ooooo
 oooooo
 ooo

ooooo
 ooo
 oooooo●o
 ooooooo
 ooo

Задачи теории упругости

Пример решения

Область: $3 \times 3 \times 3$ суперэлемента.
 Контурный график u_i в
 плоскости $x_2 = 1.5$.

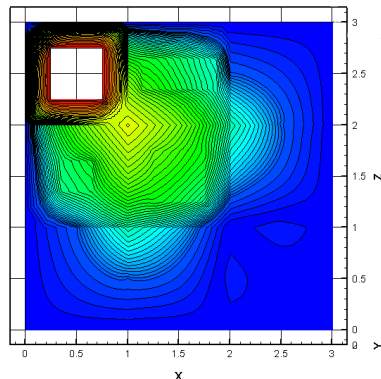


Figure: линейные функции формы

oooooooooooooooo
ooooo
oooooo
ooo

ooooo
ooo
ooooooooo●
ooooooooo
ooo

Пример решения

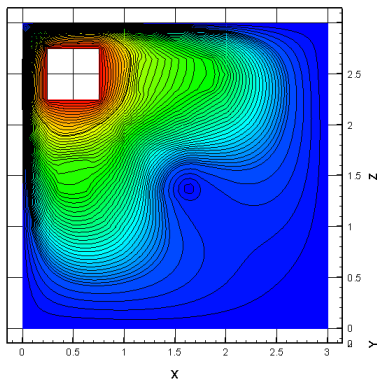


Figure: квадратичные функции формы

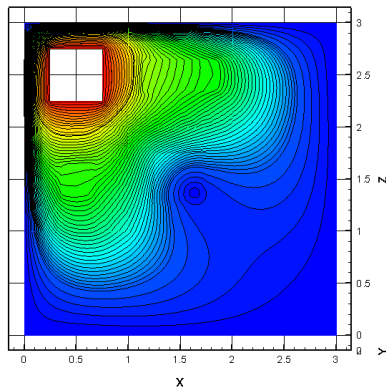


Figure: кубические функции формы

○○○○○○○○○○○○○○○○
○○○○○
○○○○○○○
○○○

○○○○○
○○○
○○○○○○○○○
●○○○○○○○
○○○

Матрица и армирование

Область $N_{\Omega} = N \times N \times N$.

Каждый СЭ содержит сферическое включение радиусом $R \in [0.0, 0.45]$.

Параметры упругости:

- E_m, μ_m - для материала матрицы;
- E_f, μ_f - для армирования.

Результаты вычислений

$E = E_3, \mu = \mu_1 (\approx \mu_2)$ - параметры упругости композита.

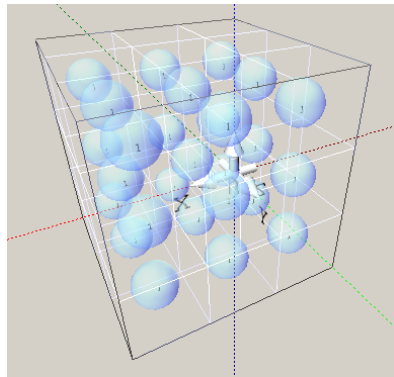


Figure: пример области, СЭ сетка

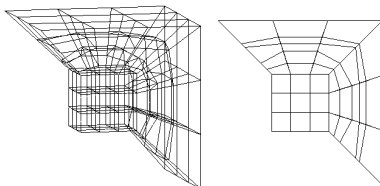
oooooooooooooooo
 ooooo
 ooooooo
 ooo

ooooo
 ooo
 oooooooooo
 o●oooooooo
 ooo

Локальная сетка СЭ

N_R - параметр КЭ дискретизации для одного СЭ.

Пример предварительной сетки ($N_R = 3$)



Пример результатов дискретизации СЭ сетки

N_R	Узлы	Ребра
4	1159	7194
6	3597	23096
8	8171	53470
10	15553	103020

```

○○○○○○○○○○○○○○○○
○○○○○
○○○○○○○
○○○

```

```

○○○○○
○○○
○○○○○○○○○
○○●○○○○○
○○○

```

Эффективные параметры

Модуль Юнга, композит с включениями, регулярная структура
($E_m = 1$, x - объемная доля волокон, y - модуль Юнга)

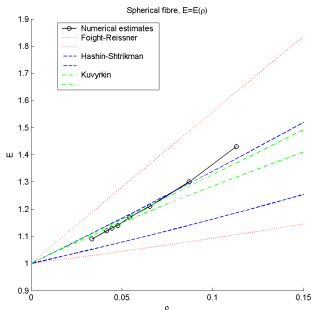


Figure: Шары: $E_f = 6.5$

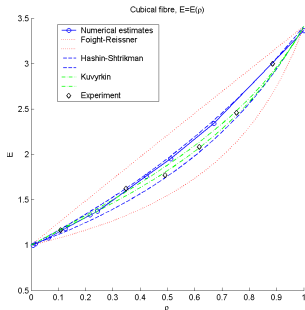


Figure: Кубы: $E_f = 3.41$

oooooooooooooooo
 oooooo
 oooooo
 oooooo
 ooo

ooooo
 ooo
 oooooo
 oooooo
 ooo

СЭ одного типа. Зависимость $E(E_f)$, $\mu(E_f)$

$$E_m = 1.0; E_f \in [1.0; 15.0]; \mu_m = \mu_f = 0.33; R = 0.3.$$

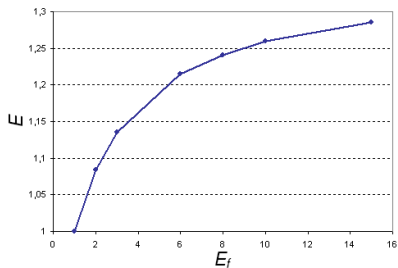


Figure: $E(E_f)$

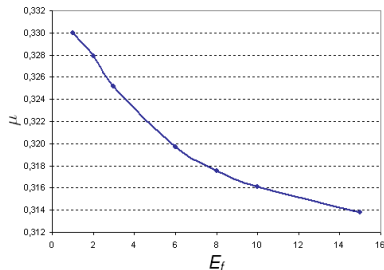


Figure: $\mu(E_f)$

```

oooooooooooooooo
ooooo
ooooo
ooooooo
ooo

```

```

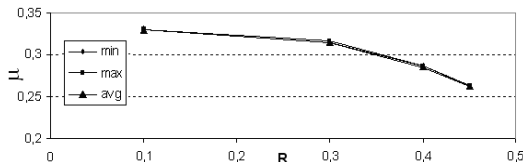
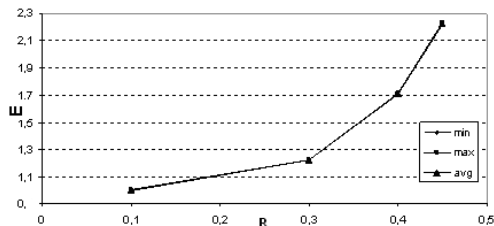
ooooo
ooo
oooooooooooo
oooo●oooo
ooo

```

СЭ одного типа. Зависимость $E(R)$, $\mu(R)$

Параметры:

парам.	знач.
E_m	1.0
E_f	6.5
μ_m	0.33
μ_f	0.25
R	0..0.45



oooooooooooooooo
 ooooo
 ooooooo
 ooo

ooooo
 ooo
 oooooooooo
 ooooo●ooo
 ooo

СЭ одного типа. Зависимость $E(N_R)$, $\mu(N_R)$

Параметры:

парам.	знач.
E_m	1.0
E_f	6.5
μ_m	0.33
μ_f	0.25
R	0.3
N_R	3..14

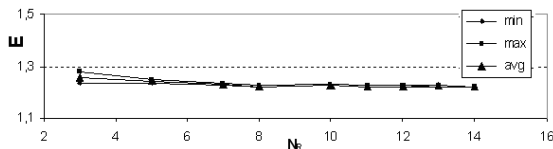


Figure: $E(N_R)$

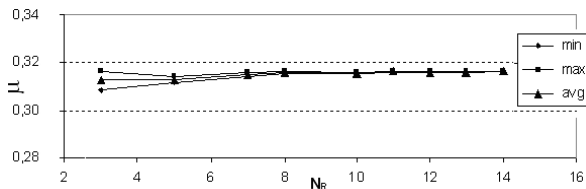


Figure: $\mu(N_R)$

oooooooooooooooo
 ooooo
 oooooo
 ooo

ooooo
 ooo
 oooooooooo
 oooooo●o
 ooo

СЭ одного типа. Зависимость $E(N)$, $\mu(N)$

Параметры:

парам.	знач.
E_m	1.0
E_f	6.5
μ_m	0.33
μ_f	0.25
R	0.3
N	1..30

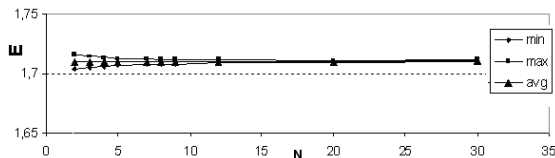


Figure: $E(N)$

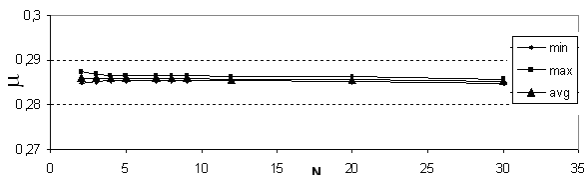


Figure: $\mu(N)$

```

○○○○○○○○○○○○○○○○
○○○○○
○○○○○○○
○○○

```

```

○○○○○
○○○
○○○○○○○○○
○○○○○○○●
○○○

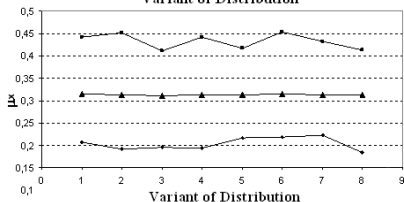
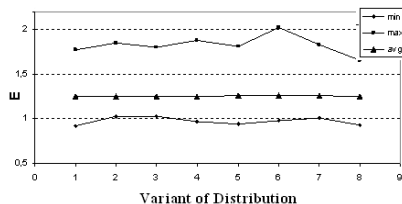
```

Несколько типов СЭ. Случайная область

Зависимость параметров E, μ_1 от варианта конфигурации области.

Параметры:

парам.	знач.
E_m	1.0
E_f	6.5
μ_m	0.33
μ_f	0.25
R_i	0.1, 0.3, 0.4
N	10
N_{SE}	3



oooooooooooooooo
ooooo
ooooooo
ooo

ooooo
ooo
ooooooooo
ooooooooo
●ooo

3D расчет электрофизических свойств проводника

3D расчет распределения электрического потенциала и плотности тока в проводнике

Задача определения удельной электрической проводимости σ пористого материала:

$$\begin{aligned} \operatorname{div} \mathbf{j} &= 0 \text{ в } \Omega \\ \operatorname{rot} \mathbf{E} &= 0 \text{ в } \Xi \\ \mathbf{E} &= -\operatorname{grad} \varphi \\ \mathbf{j} &= \sigma^0 \mathbf{E} \text{ в } \Omega \\ &+ \text{гр. усл.} \end{aligned}$$

Область $\Xi = \Omega \cup \omega$.

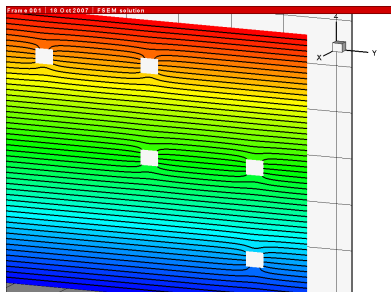


Figure: Область Ξ . Потенциал φ в сечении $x = \text{const}$

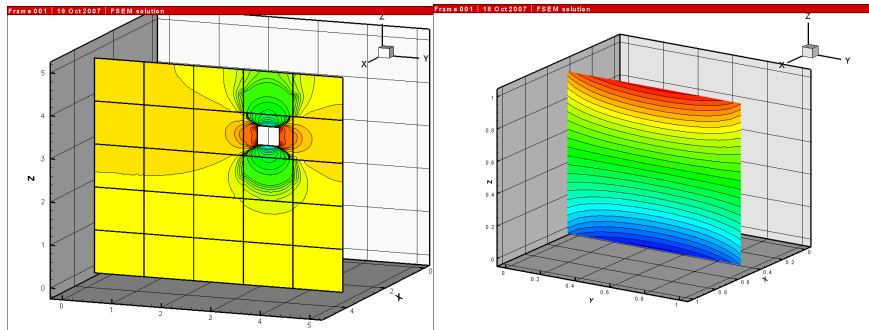
oooooooooooooooo
ooooo
ooooooo
ooo

ooooo
ooo
oooooooooooo
oooooooooooo
o●o

3D расчет электрофизических свойств проводника

3D расчет распределения потенциала и тока

Модуль вектора плотности $|j|$ электрического тока и потенциал φ в части области ω .



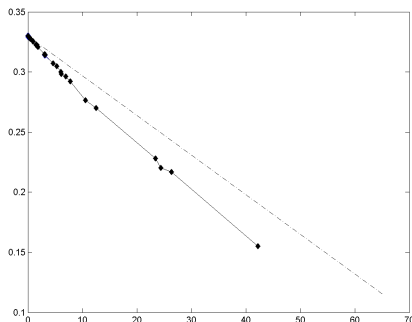
oooooooooooooooo
 oooooo
 oooooo
 oooooo
 ooo

ooooo
 ooo
 oooooo
 oooooo
 oooooo
 oo●

3D расчет электрофизических свойств проводника

Расчет усредненной проводимости пористого материала

Зависимость σ от объемной пористости



oooooooooooooooo
ooooo
ooooooooo
ooo

ooooo
ooo
ooooooooo
ooooooooo
ooo

Заключение

- Развита алгоритм теоретического анализа МКСЭ. Он обеспечивает единообразную теоретическую базу для анализа метода.
- Главным объектом подхода является вариационное уравнение для следов. Традиционная и хорошо развитая теория могут быть использованы для анализа и исследования приближений метода.
- Выполнено численное исследование метода. Рассмотрен ряд 2d и 3d задач. Метод продемонстрировал свою эффективность и устойчивость.

oooooooooooooooo
ooooo
ooooooooo
ooo

ooooo
ooo
ooooooooo
ooooooooo
ooo

Публикации Р.П. Федоренко

- 1 Страховская Л.Г., Федоренко Р.П. Об одной специальной разностной схеме // Численные методы МСС. Новосибирск. СО АН СССР. 1974. Т. 5, № 1. С. 149-163.
- 2 Страховская Л.Г., Федоренко Р.П. Об одном варианте метода конечных элементов // ЖВМ и МФ. 1979. Т. 19, № 4. С. 950-960.
- 3 Страховская Л.Г., Федоренко Р.П. Расчет диффузии в многосвязной области методом конечных суперэлементов // Препринт ИПМ АН СССР. 1987. № 171. 26 с.
- 4 Страховская Л.Г., Федоренко Р.П. Расчет напряжений в композитном теле методом конечных суперэлементов // Препринт ИПМ АН СССР. 1994. № 97. 26 с.
- 5 Федоренко Р.П. Введение в вычислительную физику. М.: Изд - во МФТИ, 1994. 528 с.
- 6 Федоренко Р.П. Некоторые задачи и приближенные методы вычислительной механики // ЖВМ и МФ. 1994. Т. 34, № 2. С. 223-241.
- 7 Fedorenko R.P. Finite Superelements Method and Multigrid Method in Problems of Elasticity Theory // CFD Journal. 1996. V. 5, N 2.

```

oooooooooooooooo
ooooo
ooooooo
ooo

```

```

ooooo
ooo
oooooooooooo
oooooooooooo
ooo

```

Публикации авторов

- 1 Galanin M., Savenkov E. Fedorenko Finite Superelement Method as special Galerkin approximation // Mathematical Modelling and Analysis. 2002. V. 7, N 1. P. 41-50.
- 2 Галанин М.П., Савенков Е.Б. К обоснованию метода конечных суперэлементов Федоренко // ЖВМ и МФ. 2003. Т. 43, № 5. С. 713-729.
- 3 Галанин М.П., Савенков Е.Б. Метод конечных суперэлементов в задачах математической физики в неоднородных областях // Информационные технологии и вычислительные системы. 2005. № 3. С. 34 - 49.
- 4 Galanin M., Savenkov E., Temis J. Finite Superelements Method for Elasticity Problems // Mathematical Modelling and Analysis. 2005. V. 10, № 3. P. 237 - 246.
- 5 Галанин М.П., Савенков Е.Б. Совместное использование метода конечных элементов и метода конечных суперэлементов // ЖВМ и МФ. 2006. Т. 43, N. 5. С. 270-283.
- 6 Galanin M., Lazareva S., Savenkov E. Numerical Investigation of the Finite Superelement Method for the 3d Elasticity Problems // Mathematical Modelling and Analysis. 2007. V. 12, № 1. P. 39 - 50.
- 7 Галанин М.П., Савенков Е.Б., Темис Ю.М., Щеглов И.А., Яковлев Д.А. Применение метода конечных суперэлементов для расчета характеристик дисперсно - армированных композиционных материалов // Вестник МГТУ им. Н.Э. Баумана. Сер. Естественные науки. 2007. № 3. С. 54-68.

Благодарности

Благодарности

- – организаторам за приглашение
- – всем присутствующим за внимание

Гранты

Работа выполнена при частичной финансовой поддержке РФФИ (проект № 12-01-00109)